

А. В. Гарбарук, Д. Р. Магидов

## ***Новый подход к анализу влияния внешних воздействий на устойчивость внешних течений***

**Аннотация.** На основе линейного анализа устойчивости численных стационарных решений уравнений Рейнольдса исследуется влияние малых внешних воздействий конечной амплитуды. Для тестирования подхода рассмотрена задача о рестабилизации ламинарного течения вокруг круглого цилиндра.

**Введение.** Известным подходом к определению условий перехода течения к нестационарному режиму и возникновения автоколебаний является линейный анализ устойчивости стационарного решения, то есть решение дифференциальных уравнений для возмущений. В рамках этого подхода осуществляется поиск собственных чисел и собственных векторов дифференциального оператора системы уравнений для возмущений. При наличии неустойчивых собственных колебаний появляется возможность перехода течения к нестационарному режиму.

Кроме того, если дополнительно решить сопряженную задачу на собственные значения, становится возможной оценка влияния малых внешних воздействий конечной амплитуды на собственные колебания.

В данной работе исследование влияния внешних воздействий осуществляется на основе численного решения линеаризованных уравнений Рейнольдса для сжимаемого газа, что позволяет рассматривать как ламинарные, так и турбулентные течения.

**1. Постановка задачи.** Рассмотрим систему уравнений Рейнольдса в следующей однородной форме:

$$R(U) \frac{\partial U}{\partial t} + N(U) = 0. \quad (1)$$

Тогда, если  $U_0$  является стационарным решением (1), то верно, что

$$N(U_0) = 0. \quad (2)$$

Введем следующие линейные операторы:

$$W = W(U) = \frac{\partial R}{\partial U}; \quad M = M(U) = \frac{\partial N}{\partial U}; \quad (3)$$

$$L = L(U) = W^{-1}M$$

Тогда линеаризованная система уравнений Рейнольдса для возмущений имеет следующий вид:

$$L_0 u_0 - \lambda_0 u_0 = 0, \quad (4)$$

где  $L_0 = L(U_0)$ , а  $u_0$  и  $\lambda_0$  – комплексные собственный вектор и собственное число линейного оператора  $L_0$ . Следует отметить, что неустойчивым собственным

колебаниям соответствуют собственные числа с отрицательной вещественной частью ( $\text{Re}(\lambda_0) < 0$ ).

Далее, введем объемную силу  $F$ , зависящую от  $U$ , в правую часть системы уравнений Рейнольдса (1)

$$R(U) \frac{\partial U}{\partial t} + N(U) = F \quad (5)$$

и представим объемную силу в виде суммы стационарной и нестационарной компонент:

$$F = F_s + F_u. \quad (6)$$

Тогда стационарное решение уравнения (5),  $U_1$ , должно удовлетворять следующему соотношению:

$$N(U_1) = F_s. \quad (7)$$

Новое, вынужденное стационарное решение может быть представлено как:

$$U_1 = U_0 + U' \quad (8)$$

Далее, следуя подходу Хилла [1], допустим, что объемная сила  $F$  достаточно мала. Тогда, исключая слагаемые второго порядка, получаем:

$$\begin{aligned} N(U_1) &\equiv N(U_0 + U') = \\ &= N(U_0) + \left( \frac{\partial N}{\partial U} \Big|_{U=U_0} \right) U' + O(U'^2) \approx \\ &\approx N(U_0) + \left( \frac{\partial N}{\partial U} \Big|_{U=U_0} \right) U' = N(U_0) + M(U_0) \cdot U' \end{aligned} \quad (9)$$

Рассмотрим модифицированную объемную силу  $F'_s$ , такую что

$$F'_s = (W(U_0))^{-1} \cdot F_s. \quad (10)$$

Тогда, на основе (2), (3), (9), и (10) получаем следующую неоднородную линейную систему уравнений для сдвига стационарного поля,  $U'$ :

$$L_0 U' = F'_s. \quad (11)$$

Далее, аналогично Хиллу, допустим, что нестационарная компонента объемной силы согласована с неустойчивым собственным колебанием:

$$F_u = f \cdot e^{-\lambda_1 t}, \quad (12)$$

где  $f$  не зависит от времени  $t$ . В этом случае вынужденная, неоднородная форма задачи на собственные значения имеет вид:

$$L_1 u_1 - \lambda_1 u_1 = f_1, \quad (13)$$

где  $L_1 = L(U_1)$  и  $f_1$  получается из  $f$ :

$$f_1 = (W(U_0))^{-1} \cdot f. \quad (14)$$

Тогда, представляя  $L_1$ ,  $u_1$  и  $\lambda_1$  как

$$\begin{aligned} L_1 &= L_0 + \Delta L, & u_1 &= u_0 + \Delta u, \\ \lambda_1 &= \lambda_0 + \Delta \lambda, \end{aligned} \quad (15)$$

подставляя выражения (15) для  $L_1$ ,  $u_1$ , и  $\lambda_1$  в (13), используя (4) и пренебрегая нелинейными членами, получаем:

$$\Delta Lu_0 + L_0 \Delta u - \Delta \lambda u_0 - \lambda_0 \Delta u = f_1 \quad (16)$$

или

$$L_0 \Delta u - \lambda_0 \Delta u = f_1 - \Delta Lu_0 + \Delta \lambda u_0. \quad (17)$$

Далее, рассмотрим задачу на собственные значения, сопряженную (4):

$$L_0^* u_0^* - \bar{\lambda}_0 u_0^* = 0, \quad (18)$$

где  $\bar{\lambda}_0$  и  $\lambda_0$  – комплексно-сопряженные величины.

Применяя к (17) альтернативу Фредгольма, получаем:

$$[u_0^*; (f_1 - \Delta Lu_0 + \Delta \lambda u_0)] = 0, \quad (19)$$

где  $[; ]$  – операция скалярного произведения в рассматриваемом пространстве.

Из (19) получаем выражение для сдвига собственного числа:

$$\Delta \lambda = ([u_0^*; \Delta Lu_0] - [u_0^*; f_1]) / [u_0^*; u_0]. \quad (20)$$

Отметим, что значение слагаемого  $\Delta Lu_0$  известно из определения  $\Delta L$  (15) и выражения (11) для  $U'$ . Таким образом:

$$\Delta Lu_0 = L(U_0 + U') \cdot u_0 - L(U_0) \cdot u_0. \quad (21)$$

**2. Численная реализация.** Прежде всего, численно решается система уравнений Рейнольдса и получается стационарное решение  $U_0$ .

На основе стационарного решения  $U_0$  вычисляется матрица  $S_0$ , являющаяся конечно-разностным представлением линейного дифференциального оператора  $L_0$  в задаче на собственные значения (4):

$$(S_0 - \lambda_0 I) \cdot a_0 = 0, \quad (22)$$

Далее, решается задача на собственные значения (22), определяется собственное число  $\lambda_0$  и собственный вектор  $a_0$ .

Следующим этапом является решение сопряженной задачи на собственные значения:

$$(S_0^* - \bar{\lambda}_0 I) \cdot a_0^* = 0, \quad (23)$$

где  $S_0^*$  и  $S_0$  – эрмитово-сопряженные матрицы, а  $\bar{\lambda}_0$  и  $\lambda_0$  – комплексно-сопряженные числа.

Далее, решается система линейных алгебраических уравнений:

$$S_0 U' = G'_s, \quad (24)$$

где  $G'_s$  – конечно-разностное представление модифицированной стационарной силы  $F'_s$  (10).

Зная сдвиг стационарного поля  $U'$ , можно получить новую матрицу  $S_1$ , основанную на вынужденном стационарном поле  $U_1$ :

$$U_1 = U_0 + U' \quad (25)$$

Теперь, зная величину  $\Delta S a_0 = S_1 a_0 - S_0 a_0$ , можно определить сдвиг обобщенной частоты по формуле аналогичной (20):

$$\Delta \lambda = ([a_0^*; \Delta S a_0] - [a_0^*; g_1]) / [a_0^*; a_0], \quad (26)$$

где  $g_1$  – конечно-разностное представление модифицированной амплитуды нестационарной силы  $f_1$  (14).

Следует отметить, что операция скалярного произведения  $[ ; ]$  в комплексном векторном пространстве определяется следующим образом:

$$[x; y] = \sum \bar{x}_i y_i. \quad (27)$$

**3. Тестирование подхода.** В качестве тестовой задачи было выбрано ламинарное течение вокруг круглого цилиндра при числе Рейнольдса 50 и числе Маха 0.2. Это течение с тем же числом Рейнольдса для несжимаемой жидкости было численно исследовано Хиллом [1] и экспериментально в работе Стриковски и Сринивасана [2]. В отсутствие внешних возмущений течение является нестационарным (критическое число Рейнольдса для цилиндра примерно равно 46). Вместе с тем, как показывают и эксперимент и численные исследования Хилла, малое воздействие на поток в определенных точках (помещенный в

поток цилиндр меньшего диаметра в эксперименте и объемная сила в работе Хилла) делает его стационарным.

В данной работе численное решение стационарной системы уравнений движения сжимаемого газа осуществлялось с помощью противопоточной разностной схемы 3-го порядка, а элементы матрицы  $S_0$  в задаче на собственные значения (22) определялись с помощью гибридной схемы, представляющей собой взвешенную сумму центральных разностей 4-го порядка и противопоточных разностей 3-го порядка

$$\Delta_H = \alpha \Delta_{3u} + (1 - \alpha) \Delta_{4c}, \quad 0 \leq \alpha \leq 1 \quad (28)$$

с различными значениями веса  $\alpha$ . Использовалась расчетная сетка с размерностью  $120 \times 100$ .

Прежде всего, решалась задача устойчивости течения вокруг цилиндра без внешних сил. Для всех пяти рассмотренных разностных схем получалось единственное неустойчивое собственное число. Зависимость вещественной и мнимой частей неустойчивого собственного числа от разностной схемы приведена в **Таблице 1**. Видно, что эта зависимость является очень слабой. Кроме того, следует отметить, что эти значения хорошо согласуются со значениями, полученными Дж. Кроучем [3] для той же задачи на более мелкой сетке. ( $\lambda_R = \text{Re}(\lambda_0) = -1.2 \cdot 10^{-2}$ ,  $\lambda_I = \text{Im}(\lambda_0) = 0.732$ ). Таким



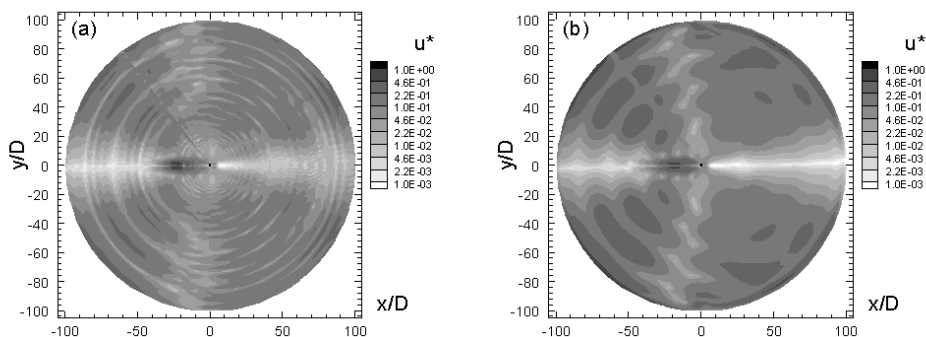
образом, полученное в данной работе решение задачи на собственные значения для невозмущенного течения вокруг цилиндра можно считать вполне надежным.

$\alpha$	$\lambda_R = \text{Re}(\lambda_0)$	$\lambda_I = \text{Im}(\lambda_0)$	$\Delta\lambda_R$	$ \Delta\lambda_I $
0.0	$-1.12 \cdot 10^{-2}$	0.729	$4.22 \cdot 10^{-2}$	$8.01 \cdot 10^{-2}$
0.25	$-1.07 \cdot 10^{-2}$	0.729	$4.28 \cdot 10^{-2}$	$7.34 \cdot 10^{-2}$
0.5	$-1.02 \cdot 10^{-2}$	0.728	$4.25 \cdot 10^{-2}$	$7.26 \cdot 10^{-2}$
0.75	$-0.97 \cdot 10^{-2}$	0.728	$4.23 \cdot 10^{-2}$	$7.19 \cdot 10^{-2}$
1.0	$-0.92 \cdot 10^{-2}$	0.728	$4.21 \cdot 10^{-2}$	$7.12 \cdot 10^{-2}$

**Таблица 1.** Собственные числа для невынужденной задачи и их изменение при воздействии объемной силы в точке  $(x, y) = (1.0, -1.11)$

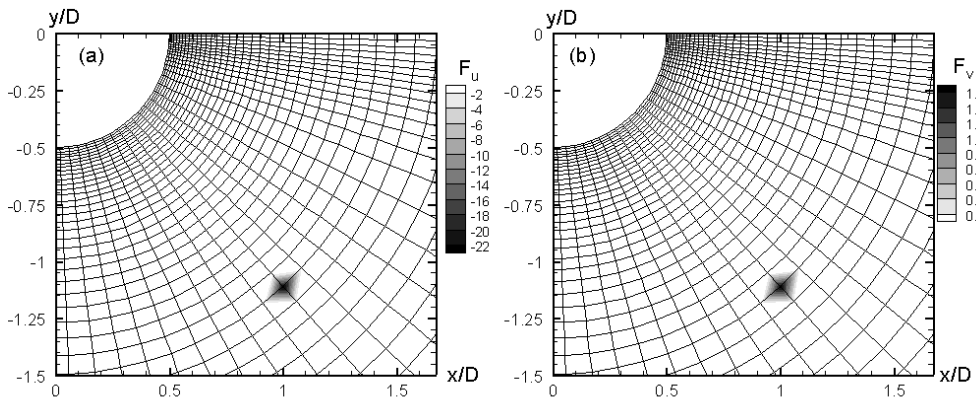
Затем с использованием тех же разностных схем решалась сопряженная задача на собственные значения (23). Поля сопряженных собственных решений, полученных для центрально-разностной схемы 4-го порядка и для противопоточной схемы 3-го порядка, представлены на рис. 1а и 1б. Видно, что, хотя противопоточная схема дает существенно более гладкое решение, поле сопряженного собственного решения для обеих схем содержит большое количество "шумов" и является существенно немонотонным в радиальном направлении. К сожалению, объяснение этим свойствам сопряженного собственного решения пока не

найдено, и, таким образом, нельзя отдать предпочтение той или иной разностной схеме.

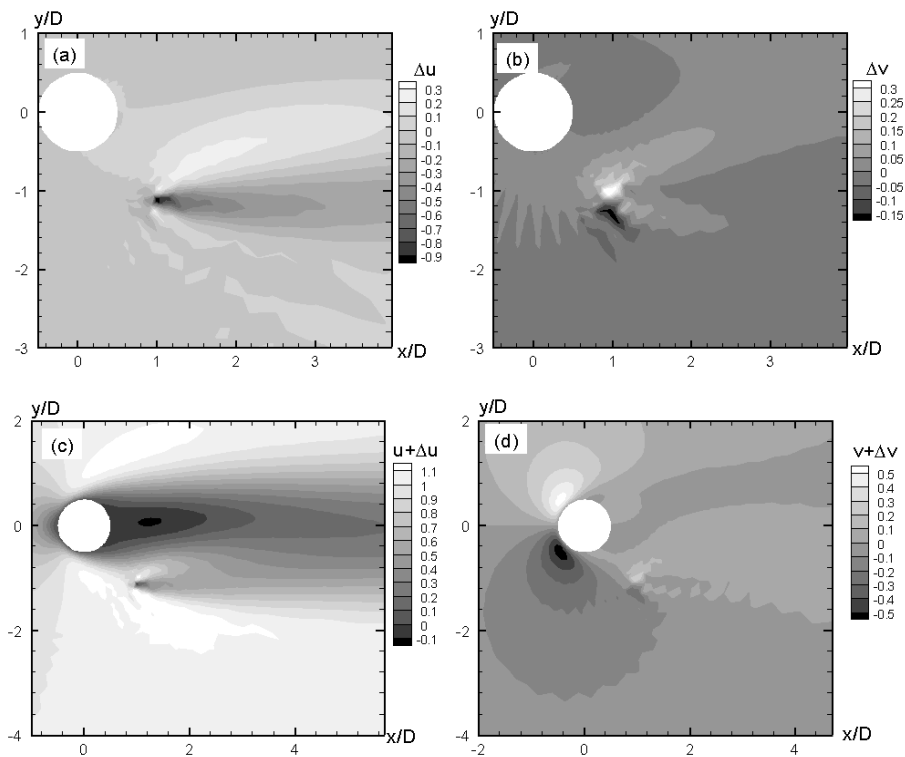


**Рис. 1.** Нормированное поле компоненты амплитуды собственного вектора сопряженного оператора, соответствующей продольной скорости, полученное с использованием центрально-разностной схемы 4-го порядка (a) и противопоточной разностной схемы 3-го порядка (b).

Следующим этапом являлось решение системы линейных алгебраических уравнений (24) для получения сдвига стационарного поля  $U'$ , вызванного приложением объемной силы в некоторой точке потока. Аналогично подходу Хилла, мы рассматривали объемную силу в форме  $\delta$ -функции (см. рис. 2, где сила приложена в точке  $(x, y) = (1.0, -1.11)$ ). На рис. 3 приведены поля сдвига стационарного поля  $U'$  (то есть решения системы (24)) для продольной и поперечной компонент скорости  $\Delta u$  и  $\Delta v$  и возмущенное стационарное поле  $U_1$  (25). Следует отметить, что вблизи точки приложения силы сдвиг стационарного



**Рис. 2.** Компоненты объемной силы, приложенной в точке  $(x, y) = (1.0, -1.11)$ .



**Рис. 3.** Сдвиг стационарного поля (а, б) и вынужденное стационарное поле (с, д) для продольной и поперечной компонент скорости  $u$  и  $v$ .

поля  $U'$  имеет порядок 1 (как это и должно было бы быть, если бы вместо объемной силы в поток помещался цилиндр малого радиуса), что противоречит, хотя и локально, допущениям, принятым при получении выражения (9).

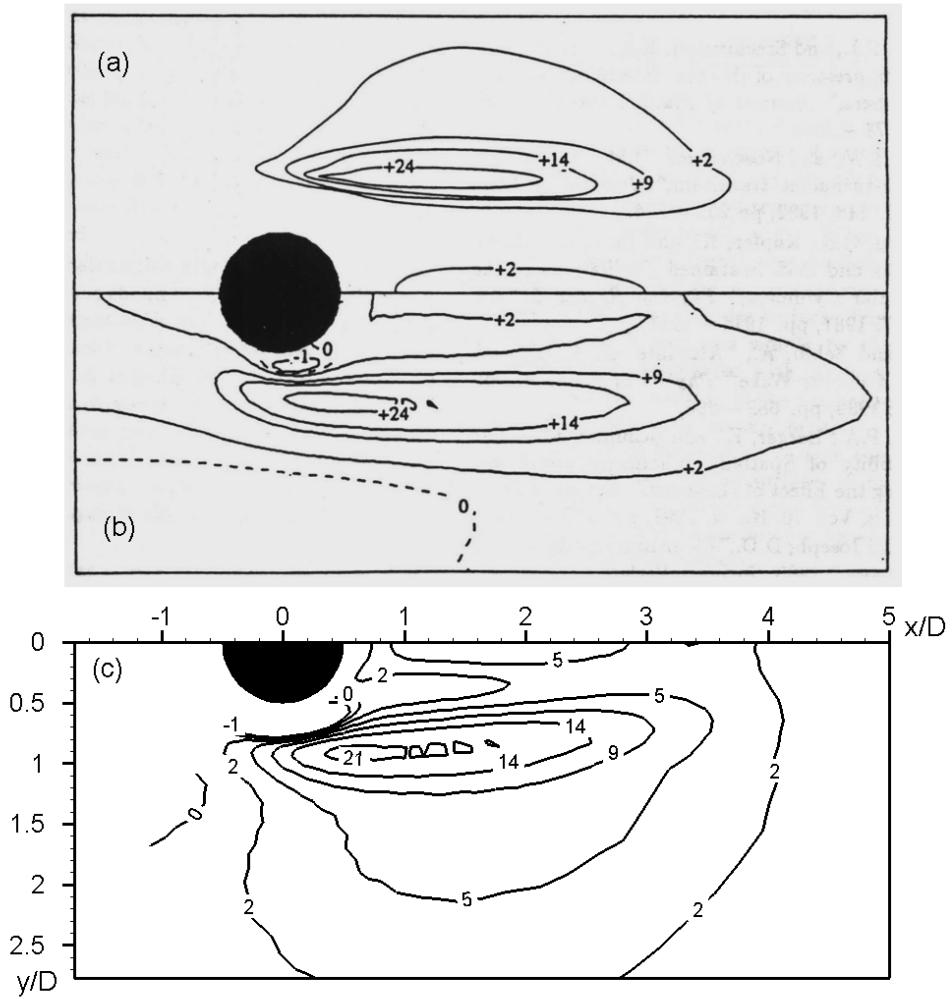
Далее, с помощью (26) определялся сдвиг неустойчивого собственного числа, вызванный приложением силы (см. 4-й и 5-й столбцы **Таблицы 1** – для точки  $(x, y) = (1.0, -1.11)$ ). Отметим, что, несмотря на видимые различия между полями сопряженных собственных решений, полученных с помощью разных схем (см. рис. 1a, b), величина сдвига оказалась практически нечувствительной к используемой схеме.

Для сравнения результатов данной работы с результатами расчетов Хилла и экспериментальными данными рассчитывался сдвиг критического числа Рейнольдса, вызванный приложением силы, получаемый из величины сдвига вещественной части неустойчивого собственного числа по формуле из работы Хилла:

$$\Delta Re_c = Re_c \frac{\Delta \lambda_R / A}{1 - \Delta \lambda_R / A}, \quad A = 0.2. \quad (29)$$

Эта формула основана на линейной связи между числом Рейнольдса  $Re$  и величиной  $Re \cdot \lambda_R$  для неустойчивого собственного числа, а также на допущении, что сдвиг

вещественной части собственного числа не зависит от числа Рейнольдса.



**Рис. 4.** Сдвиг критического числа Рейнольдса  $\Delta Re_c(x, y)$ , вызванный помещением в точке  $(x, y)$  цилиндра малого радиуса в эксперименте (a) и приложением в точке  $(x, y)$  объемной силы в расчетах Хилла (b) и в данной работе (c).

На Рис. 4 поля сдвига критического числа Рейнольдса, рассчитанного по формуле (29) сравниваются с результатами Хилла и с экспериментом. Качественно, все результаты хорошо согласуются, но максимальная величина сдвига в данной работе оказалась несколько заниженной, кроме того, величина сдвига по мере удаления от основного цилиндра спадает слишком медленно. Эти различия могут быть объяснены численными неточностями, в частности, использованием недостаточно мелкой сетки.

**Выводы.** В целом результаты тестирования вышеописанного подхода можно признать вполне удовлетворительными. Таким образом, является целесообразным дальнейшее исследование возможностей подхода, в частности, применительно к существенно сжимаемым турбулентным течениям.

### **Литература**

1. **Hill D.C.** A theoretical approach for analyzing the restabilization of wakes. // AIAA Paper, 1992, AIAA-92-0067.
2. **Strykowski, P.J., and Sreenivasan, K.R.** On the Formation and Suppression of Vortex "Shedding" at Low Reynolds Numbers // Journal of Fluid Mechanics, 1990, Vol. 218, pp. 71 – 107.
3. **Crouch J. D., Garbaruk A., Magidov D.** Predicting the onset of flow unsteadiness based on global-stability theory. // JCP, accepted for publication in 2005.